

8 Implementação e Resultados Práticos

...there's a difference between knowing the path and walking the path. (*The Matrix*)

8.1 Framework utilizado

Para o sistema de visualização deste trabalho utilizou-se um *framework* capaz de visualizar objetos 3D de forma interativa. Os cenários podem ser modelados utilizando o software 3DSMAX e devem ser diferenciados os objetos que serão tratados por geometria com os que serão tratados como impostores como relevo. A estrutura básica do *framework* está ilustrada na figura 8.1:

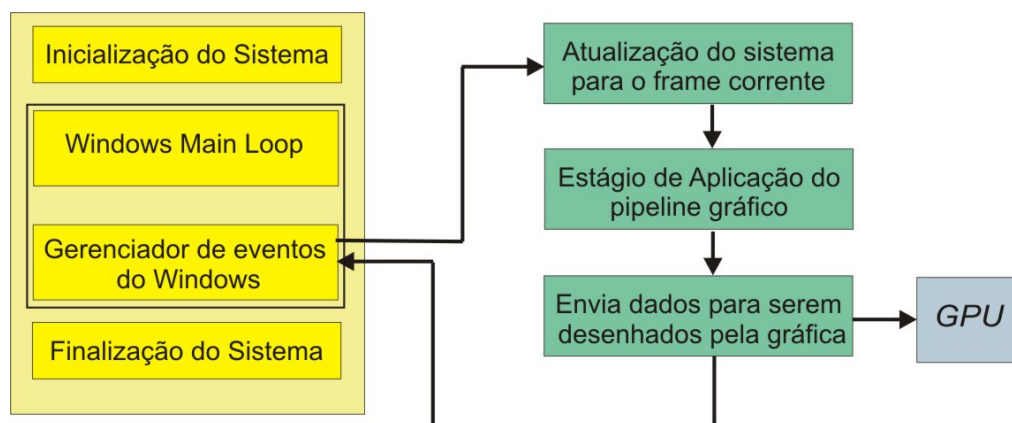


figura 8.1 – Diagrama da estrutura do *framework* utilizado para as implementações que se seguem

O sistema inicializa todas as variáveis globais antes de entrar no *loop* principal do *windows*. Uma vez dentro deste *loop*, para cada *frame*, executa-se a sequência da direita do diagrama, que a grosso modo pode ser resumido como sendo o estágio de aplicação do *pipeline* gráfico. No término deste estágio, antes de voltar ao início do *loop* principal, enviam-se os resultados para serem desenhados pela placa gráfica, correspondendo aos estágios de geometria e rasterização, que estão ambas a cargo da GPU. Uma vez feito este envio, a CPU já terminou sua parte do *pipeline* gráfico e apenas a placa gráfica possui tarefas pare

serem feitas. Neste âmbito, pode-se encarar o sistema como uma máquina paralela temporal, uma vez que o processador pode iniciar o processo de novas etapas da visualização enquanto a GPU está tratando a visualização dos dados anteriores.

8.2 Implementação básica do estágio de *pre-warping*

Foram implementadas quatro versões da técnica de mapeamento de texturas com relevo (Fonseca, 2004), variando o processo de amostragem e reconstrução da imagem. A estrutura do *framework* implementado é da seguinte forma:

```
Relief_Mapping (sprite, Relief, camera) // Chamado a cada frame
    Reinicialização dos parâmetros para a câmera corrente
    Configuração do polígono da textura com relevo para nova posição
    Constrói_Look_Up_Table
    Amostragem e Reconstrução da imagem
    Mapeamento da textura com pre-warping sobre o polígono
```

Para todas as versões, procurando otimizar o cálculo das equações 3-1 e 3-2, que devem ser calculadas para cada *texel* do mapa de relevos, lançou-se mão de uma *lookup table*. Esta tabela deve ser reconstruída cada vez que qualquer parâmetro da câmera destino seja alterado e é feito pelo seguinte algoritmo (Oliveira, 2000):

Função Constrói_Look_Up_Table

```
 $e_1 = -(\vec{c} \cdot \vec{a}) / (\vec{a} \cdot \vec{a})$  //  $e_1$  e  $e_2$  são as coordenadas do ponto epipolar
 $e_2 = -(\vec{c} \cdot \vec{b}) / (\vec{b} \cdot \vec{b})$   $k_3 = 1 / (\vec{c} \cdot \vec{f})$  //  $k_1, k_2, k_3$  são as constantes da eq. 3-1
 $k_1 = e_1 \cdot k_3$  // referentes à posição corrente da câmera
 $k_2 = e_2 \cdot k_3$ 
Para  $i=0$  até  $i >= 255$  faça
     $Depth = Q(i) / 255$  // Profundidade aproximada para um
    // índice quantizado  $i$ 
     $Coef\_1[i] = k_1(Depth)$  // Coeficientes das Equações 3-1 e 3-2
     $Coef\_2[i] = k_2(Depth)$ 
     $Coef\_3[i] = 1 / (1 + k_3)(Depth)$ 
```

Através desta *look up table*, os cálculos para cada *texel* que correspondiam a

$$u_i = \frac{u_f - k_1 \partial(u_f, v_f)}{1 + k_3 \partial(u_f, v_f)} \quad \text{e} \quad v_i = \frac{v_f - k_2 \partial(u_f, v_f)}{1 + k_3 \partial(u_f, v_f)}$$

são substituídos pelas seguintes operações:

$$u_{next} = (u + Coef_1[Depth_Texel]) \times Coef_3[Depth_Texel]$$

$$v_{next} = (v + Coef_2[Depth_Texel]) \times Coef_3[Depth_Texel]$$

o que se resume a 2 adições e 2 multiplicações por *texel*.

8.2.1 Amostragem Unidimensional Realizada em dois passos

O primeiro método consiste em criar dois passos totalmente separados e independentes para o processo de amostragem e reconstrução (Oliveira, 2000). Para esta versão cria-se uma função que realiza o cálculo de *warping* apenas para as linhas e outra que, terminada a primeira, realiza o cálculo de *warping* apenas para as colunas, conforme ilustra a figura 8.2. Como foi discutido na seção 4.2, ao realizar o *warping* de um *texel*, podem surgir buracos, ou seja, dois *texels* que eram vizinhos na textura original podem se afastar de tal forma que surgem *pixels* entre os dois que antes não existiam. (O tamanho destes buracos é delimitado pela medida de erro apresentada no capítulo 5, de forma que nunca são maiores do que um determinado valor estipulado).

Para solucionar este problema, o algoritmo implementado cria *texels* para esta região, fazendo uma interpolação linear entre os dois elementos pertencentes à imagem original. Esta interpolação deve ser efetuada não apenas para a cor dos *texels*, mas também para o valor das normais e da profundidade. Neste método, as interpolações horizontais e verticais são feitas separadamente. É importante notar que, ao atingir o passo vertical, faz-se uma interpolação sobre outra já feita no passo anterior.

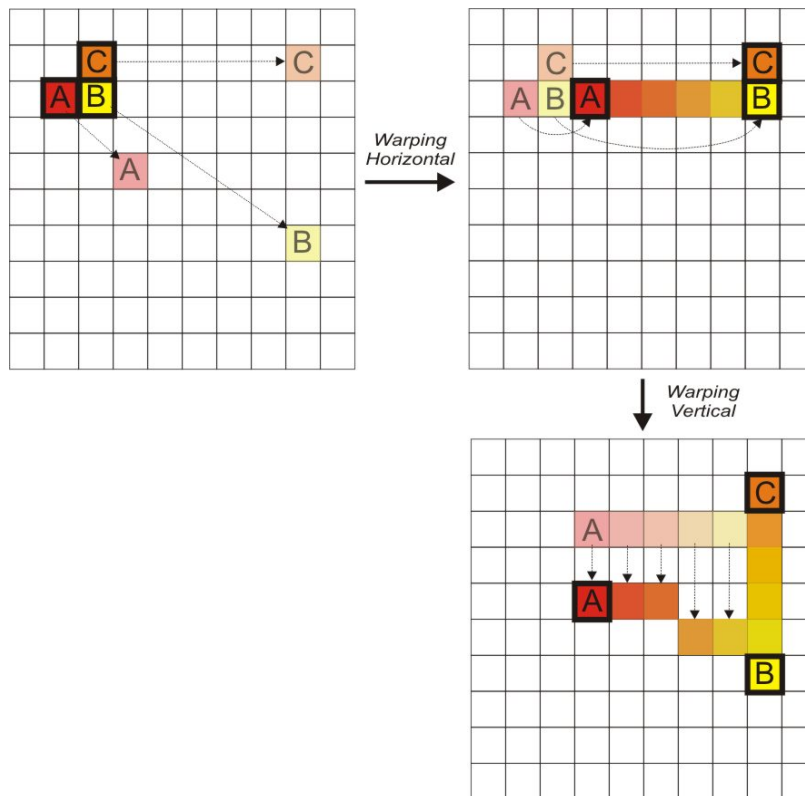


figura 8.2 – O método da amostragem unidimensional dividido em dois passos realiza primeiro o *warping* para as linhas, fazendo a interpolação necessária para preencher os buracos que surgem devido ao distanciamento de dois *texels* que eram vizinhos na imagem original. Depois de processar toda a imagem, realiza-se um segundo *warping*, restrito às colunas, também fazendo a interpolação de *texels* no caso de afastamentos dos mesmos.

Este método possui um inconveniente, especialmente mais notório, em locais de interpolação que existe maior descontinuidade na informação de profundidade. Este efeito pode-se tornar mais proeminente em linhas retas, que tenderão a parecer curvas. O erro se deve sobretudo ao fato de se realizar uma interpolação (no passo vertical) sobre um valor que já era interpolado (no passo horizontal)*.

8.2.2 Amostragem Assimétrica Realizada em dois passos

Nesta versão da implementação das texturas com relevo se procura sanar o erro obtido na primeira abordagem. Neste caso, evita-se realizar uma interpolação

* Uma discussão mais detalhada das limitações desta abordagem pode ser obtida em (Oliveira, 99) e em (Fonseca, 04).

sobre outra, armazenando o valor final da coordenada vertical do *texel* já no primeiro passo do *pre-warping* (Oliveira, 2000), ou seja, no passo horizontal. Para isto, deve-se utilizar uma tabela auxiliar responsável por armazenar estes resultados. Denomina-se a esta versão de assimétrica porque o passo horizontal não é simétrico ao vertical.

8.2.3 Amostragem Realizada em Dois Passos com Compensação de Deslocamento

Neste método, sugerido e demonstrado em (Oliveira, 1999), utiliza-se um cálculo mais exato para a interpolação linear no cálculo dos valores de profundidade para os *texels* interpolados durante o passo horizontal. Esta interpolação, para os *texels* que estão entre A e B (figura 8.2) é dada pela equação 8-1:

$$disp(t) = \frac{\beta_1 - t\beta_2 - (1-t)\beta_3}{\gamma_1 + t\gamma_2 + (1-t)\gamma_3} \quad (8-1)$$

Onde $disp(t)$ é o valor de profundidade interpolado, $\beta_1 = v_{fA}(1 + k_3 disp(B)) - v_{pA}$, $\beta_2 = v_{fB} - v_{pA} + k_2 disp(B)$, $\beta_3 = v_{pA} k_3 disp(B)$, $\gamma_1 = v_{pA} k_3 - (1 + k_3 disp(B)) k_2$, $\gamma_2 = (v_{fB} - v_{pA} + k_2 disp(B)) k_3$ e $\gamma_3 = v_{pA} k_3^2 disp(B)$, sendo que se denomina de v_{fN} ao *pixel N* da imagem fonte e v_{pN} ao *pixel N* da imagem com o *pre-warping*. Os demais coeficientes são os mesmos da equação 3-1.

8.2.4 Amostragem Intercalada Realizada em um Passo

Nas implementações descritas ainda é possível de ser observada a presença de ruídos durante o *pre-warping*. Tais ruídos surgem pelo fato de que múltiplas amostras são mapeadas sobre um mesmo *pixel* na imagem resultante, durante a primeira fase do *pre-warping*. Ao se realizar a segunda etapa, alguns *texels* que se tornam necessários para se fazer a interpolação já não existem, pois foram ocluídos. Neste método implementado, utilizou-se a solução indicada em (Oliveira, 1999) para este problema: intercalar os passos horizontal e vertical do *pre-warping*. Para cada *texel* intermediário produzido no passo horizontal realiza-

se imediatamente sua interpolação dentro da coluna apropriada. Como cada iteração vertical recebe e processa os *texels* numa ordem compatível de oclusão, a visibilidade correta é preservada na imagem resultante.

Este método, diante dos três apresentados anteriormente, é o que menos operações realiza na implementação do *pre-warping*, devido às intercalações. Por esta razão é o que possui maior velocidade, como se pode verificar na tabela 8.1, e é o método utilizado para o restante do desenvolvimento que se apresenta nesta dissertação.

| Algoritmo | Tempo médio de processamento (ms) | Desvio Padrão (ms) |
|----------------------------|-----------------------------------|--------------------|
| Amostragem unidimensional | 47.406 | 3.001 |
| Amostragem Assimétrica | 47.859 | 4.612 |
| Amostragem com compensação | 49.625 | 6.075 |
| Amostragem intercalada | 40.859 | 7.734 |

Tabela 8.1 – Tempo obtido para realizar o *pre-warping* utilizando cada um dos 4 algoritmos de amostragem discutidos previamente. O modelo usado para esta medida é o da figura 5.4, numa resolução de 256 x 256 e utilizando uma máquina com processador Pentium IV 2.6 GHz.

8.3 *Pre-warping* serial no *pipeline* gráfico

Numa primeira implementação, inseriu-se toda a etapa de *pre-warping* das texturas com relevo no estágio de aplicação, conforme ilustra a figura 8.3:

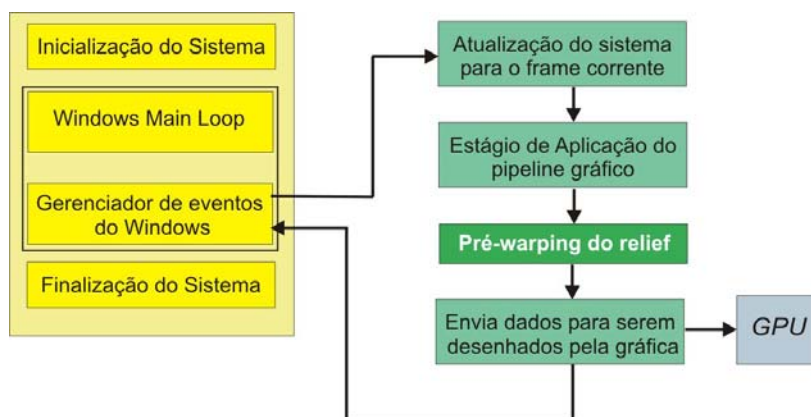


figura 8.3 – Primeira implementação do mapeamento de texturas com relevo utilizando o *framework* apresentado. Apenas se mostra no diagrama a etapa de *pre-warping*, já que a etapa de texturização está a cargo da GPU.

Nesta implementação não houve nenhuma preocupação com paralelismo. Assim sendo, enquanto se está realizando a etapa de *pre-warping*, todo o sistema está parado, à espera do resultado a ser gerado. Ao se fazer isto, pôde-se observar que a etapa de *pre-warping* tornou-se o gargalo de toda a aplicação, ou seja, ela tornou-se a responsável por restringir a performance do sistema. Num Pentium IV, 3GHz com uma RADEON 9700, enquanto numa cena sem objetos com texturas com relevo a performance era de 95 FPS (*frames* por segundo), ao se inserir um objeto deste tipo a performance caiu para 11 FPS.

Além disso, nesta primeira implementação utiliza-se uma textura com relevo já pronta e armazenada na memória. Como existe apenas uma textura para o objeto, torna-se impossível vê-lo de qualquer ângulo. Desta maneira, o *framework* restringe o movimento da câmera. A figura 8.4 mostra um diagrama das etapas envolvidas no processo, bem como uma identificação do local onde esta etapa é executada: CPU ou GPU.

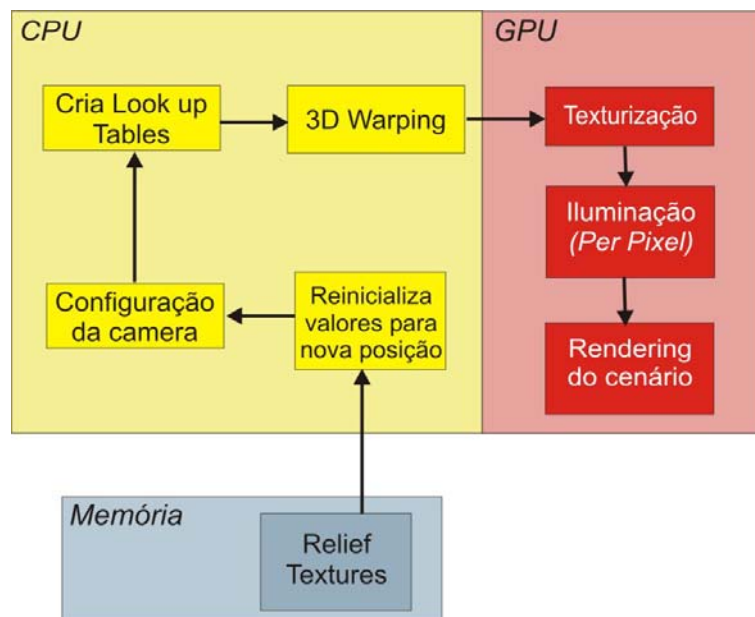


figura 8.4 – Distribuição entre CPU e GPU na implementação do sistema.

8.4 *Pre-warping* com *Time-Slice* fixo

Numa segunda implementação, procurando encarar um sistema com CPU e GPU como uma máquina paralela, criou-se uma distribuição baseada em *time-slice*: dividiu-se a etapa de *pre-warping* em vários pedaços. Para cada *frame*, faz-se com que a CPU realize o *pre-warping* de uma parte da textura. Apenas ao

terminar o *pre-warping* por completo se envia esta textura para a placa gráfica, de modo a tratar da etapa de texturização. Perceba-se no diagrama da figura 8.5 (a) que o *pre-warping* foi inserido após enviar os dados para a GPU. Fez-se isto porque se observou que neste momento a CPU estava com maior tempo ocioso. Enquanto a GPU realiza todo o estágio de geometria e de rasterização, a CPU está tratando de uma parte do *warping*. Ao utilizar esta abordagem, a taxa de visualização da cena subiu para 75 FPS, mas a taxa de atualização das texturas com relevo caiu para 6 por segundo. Embora a atualização destas texturas tenha sido menor, esta abordagem foi melhor porque comprometeu menos a interatividade da aplicação e a visualização dos objetos geométricos.

8.5 *Pre-warping* com *time-slice* variável

Uma variação feita na implementação anterior foi a de não fixar o tempo concedido ao *warping*: permite-se que a CPU faça o cálculo de *warping* apenas enquanto dura o processo de visualização da placa gráfica. Desta maneira, garante-se que a CPU apenas está processando a textura com relevo enquanto a GPU está de fato ocupada. Quando o *framework* volta a precisar da CPU, esta interrompe o *warping* que estava realizando. Sempre que se termina uma varredura completa da textura com relevo, a CPU avisa que no próximo frame a GPU pode usar uma textura nova para o objeto com relevo, que está disponível na memória RAM. (constatou-se que não é conveniente realizar o *warping* diretamente na memória de vídeo, pois isto interrompe o processamento que está ocorrendo na GPU).

Esta implementação deixou a taxa de FPS praticamente igual à que existia antes de se inserir o objeto de textura com relevo, mas por outro lado, a taxa de atualização da textura com relevo ficou mais lenta (em torno de 3 a 4 atualizações por segundo, para a cena da figura 8.5). Vale ressaltar também que quanto mais complexa for a cena para a GPU, mais tempo a CPU tem para realizar o *pre-warping* e, portanto, maior será a taxa de atualizações da textura com relevo.

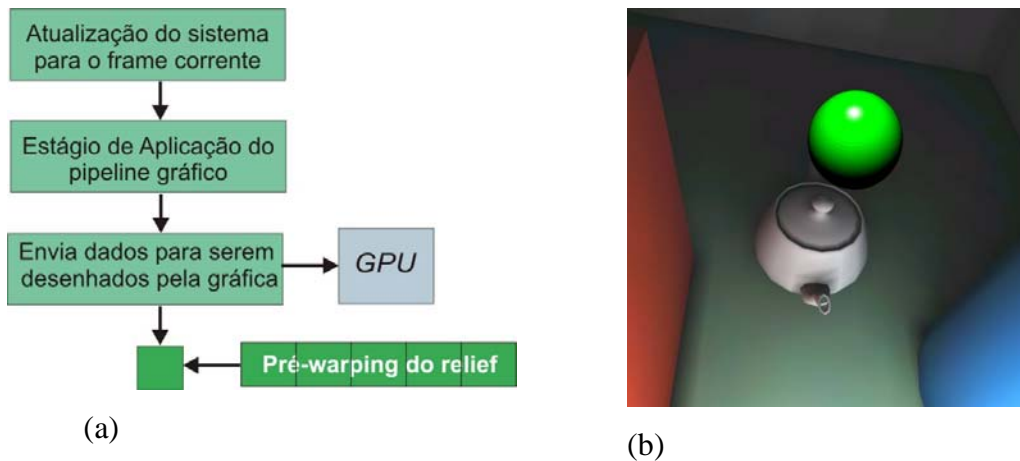


figura 8.5 – (a) Estrutura do *framework* para *time slice*. (b) enquanto a cena é desenhada a uma taxa de 75 FPS, a esfera, que é representada por textura com relevo, é atualizada a 6 vezes por segundo, na primeira versão desta implementação. Já na segunda versão, a taxa ficou em torno de 95 FPS, mas a taxa de *warpings* por segundo caiu para 3.

8.6 *Pre-warping* com *multi-threading*

Numa terceira abordagem implementou-se o mapeamento de texturas com relevo utilizando *multi-threading*. Neste caso, o *pre-warping* ficou a cargo de um *thread* exclusivo para isto (para tanto é necessário utilizar uma máquina com mais de um processador; no caso deste trabalho utilizou-se um processador com *hyper-threading*). Com isto um processador fica dedicado ao *pipeline* de visualização padrão, sem ser interrompido nenhuma vez para fazer as tarefas relacionadas ao mapeamento de texturas com relevo.

Através de mensagens, este processador avisa ao *thread* se houve mudanças de posição do observador, o que requer que um novo *warping* seja criado para a textura. O *thread*, ao terminar de fazer o *pre-warping*, avisa ao processador do *framework*, que por sua vez, permite que o *thread* envie o resultado para a GPU. Este processo de sincronização é implementado através de uma máquina de estados, ilustrado na figura 8.6. Novamente vale ressaltar que o *warping* foi feito inteiramente na memória RAM, para que o processamento da placa gráfica não seja interrompido a todo instante. Apenas quando se termina uma sequência de *warping*, realiza-se a transferência para a memória de textura.

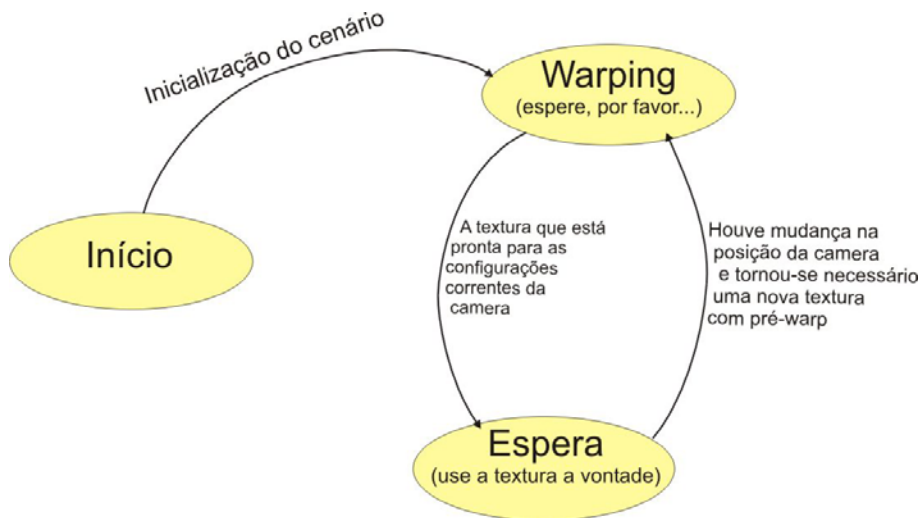


figura 8.6 – Máquina de estados responsável por sincronizar o processo de *pre-warping*.

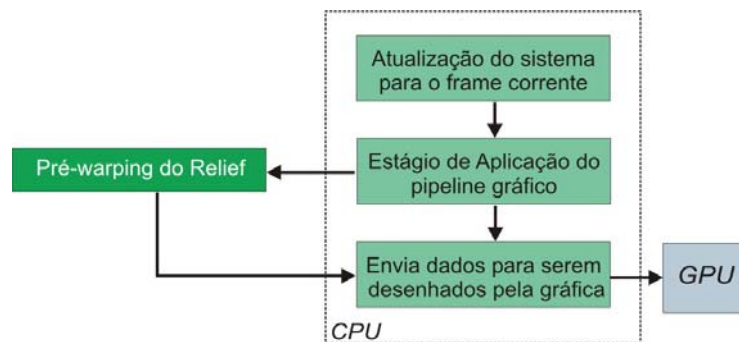


figura 8.7 – Estrutura do *framework* para texturas com relevo utilizando *multi-thread*.

A máquina de estados é controlada pelo *framework* (figura 8.8). Perceba-se que não há mais nenhuma conexão entre o laço de visualização do cenário normal e o laço do *pre-warping*. A máquina de estados garante que não se passe para a placa gráfica uma textura com relevo que está no meio do processo de *pre-warping*.

Testou-se este sistema também numa máquina sem possuir *hyper-threading*. Neste caso, o resultado foi superior ao apresentado no *pre-warping* com *time-slice* variável. Nesta versão deu-se ao processo de *pre-warping* uma prioridade pequena, de forma que o sistema operacional gerenciasse os momentos em que a CPU tem tempo disponível para este processo. Assim sendo, sempre que a CPU encontra tempo ocioso passa a dedicar-se ao *pre-warping*. Observou-se que numa aplicação de visualização com o *framework* desenvolvido, sem *culling* por software, o tempo ocioso da CPU chega a 90% para uma cena de 1000 polígonos.

Desta forma, o tempo que existe à disposição para o passo de amostragem e reconstrução da textura com relevo é grande.

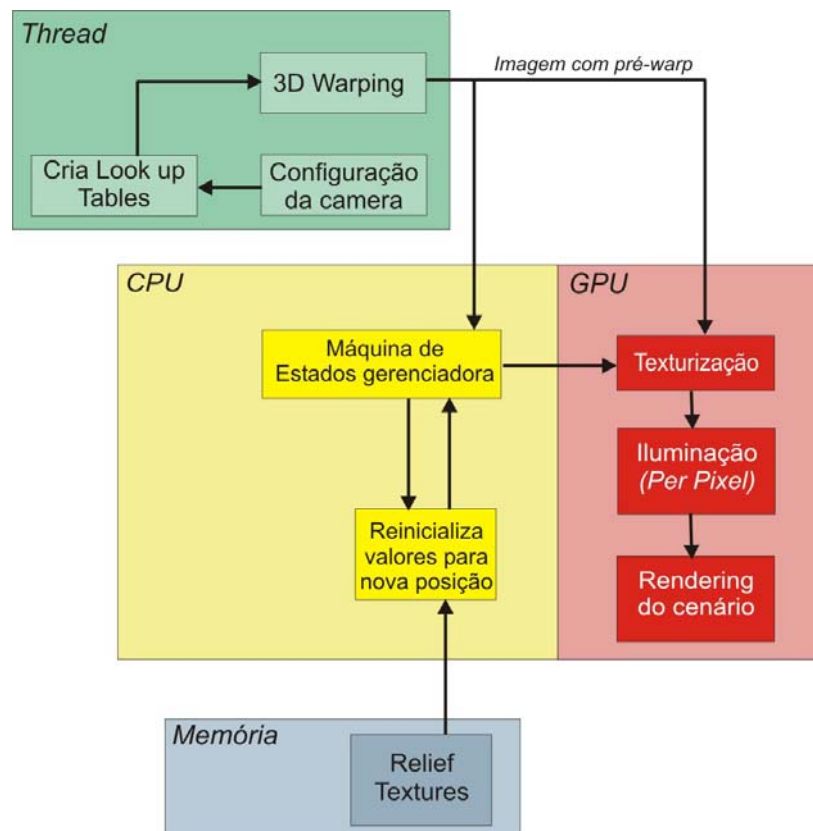


figura 8.8 – Arquitetura mais detalhada do *framework* com implementação de processo distribuído para o *pre-warping*.

8.7 *Pre-warping* multi-processado

Na implementação anterior é apresentada uma arquitetura que cria um processo dedicado à etapa de *pre-warping*. Esse método é especialmente interessante quando se dispõe de uma máquina com dois processadores ou com tecnologia de *hyper-threading*, mas não é capaz de explorar sistemas que possuem mais do que dois processadores. A abordagem presente é a que pode ser considerada com mais propriedade de paralela, pois divide a textura com relevo em n pedaços, onde n é o número de processadores disponíveis. Neste caso, cada um se encarrega do *pre-warping* de um pedaço. Quando todos terminam, um processo deve se responsabilizar por unir os diversos resultados numa só textura. Este método é classificado como paralelismo espacial, de acordo com as categorias apresentadas na seção 7.3.

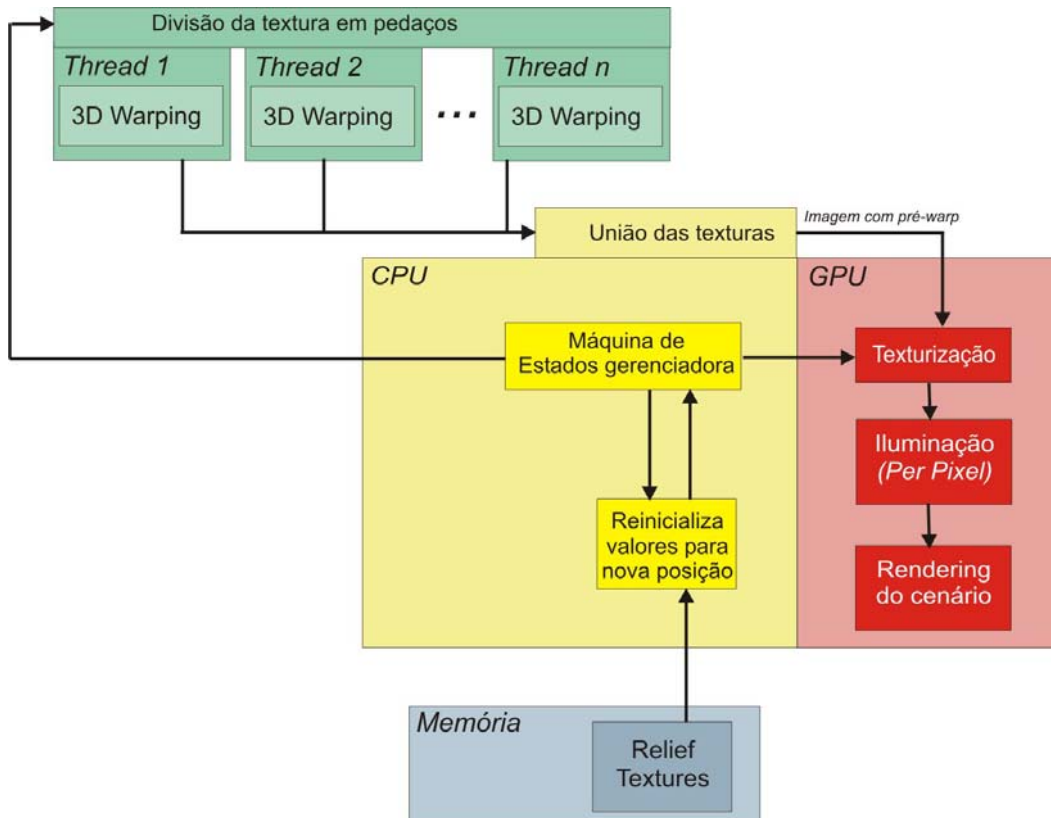


figura 8.9 – Arquitetura do sistema para multi-processamento. Cada *thread* recebe um pedaço da textura original e se encarrega de fazer o *pre-warping* apenas neste pedaço.

Deve-se ressaltar que o processo de divisão da textura com relevo não consiste simplesmente em quebrar a imagem original em n pedaços menores. Ao se fazer o *pre-warping* de um pedaço, pode ocorrer de que um *texel* seja deslocado para uma região que pertence a outro *thread*. Se o processo não possuir acesso a esta parte, o *texel* que se está movendo é simplesmente perdido. O efeito disto consiste em “buracos” nas emendas dos pedaços, conforme se pode ver na figura 8.10 (d).

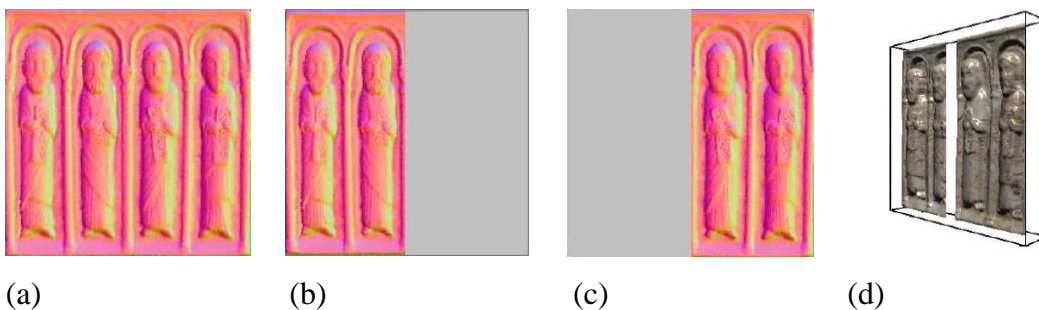


figura 8.10 – Ao se dividir a imagem em n partes, o *warping* de uma pode “invadir” o espaço que era de outra, ocorrendo a perda destes *texels* e formando um “buraco” na imagem com relevo.

Para evitar este problema, a divisão da textura com relevo em pedaços deve ser feita da seguinte forma:

- Alocar um espaço de memória para cada processo com a mesma resolução da textura com relevo original;
- Inicializar os valores de profundidade para todos os *texels* como sendo um valor inválido;
- Copiar as informações da textura original apenas para a região que é usada para este pedaço.

Estes passos podem ser observados na figura 8.10. Em (a) está representada a textura original. (b) e (c) representam dois pedaços diferentes que serão enviados a processadores distintos para sofrerem o *pre-warping*. A área cinza de cada uma destas imagens indica que há valores de profundidade equivalentes a *texels* inválidos. Fazendo-se isto, permite-se que cada processo escreva valores nos *texels* da região de outra imagem, caso seja necessário.

O processo necessário para unir as texturas com o *pre-warping* terminado também deve levar em conta esta possível invasão de áreas. O algoritmo abaixo descreve esta união:

Para i de 1 a n faça

Para cada texel pertencente ao pedaço i faça

Se texel é válido então copie este texel para textura final

Senão verificar se pedaço vizinho apresenta este mesmo texel como válido

Caso seja válido, copie-o para a textura final

A tabela 8.2 mostra resultados obtidos para 3 implementações: *pre-warping* serial, *pre-warping* com *multi-threading* e *pre-warping* paralelo. Neste caso, a medida do tempo é feita pela taxa de FPS do processo de visualização completa e não do número de *warpings* por segundo que estão sendo feitos.

Pode-se perceber que o desempenho obtido no *pre-warping* paralelo é muito inferior ao obtido com a abordagem *multi-threading*. Isto ocorre porque no primeiro existem 3 processos para 2 processadores (um processo do *framework* e dois processos do *pre-warping*) e no segundo 2 processos para 2 processadores. Deve-se ter em conta que na abordagem paralela existe ainda o processo de separação e junção das texturas, que não é necessário para o *multi-threading*.

Outra observação que se faz é de que o valor de FPS corresponde ao do *framework* como um todo, e não à taxa de *warpings* por segundo que se está realizando. Esta tabela mostra que, para a arquitetura de *hardware* escolhida, o segundo método deixa o *framework* mais livre para o processamento do restante da cena.

| Abordagem | Taxa de FPS | Desvio padrão |
|------------------------------------|-------------|---------------|
| <i>pre-warping</i> Serial | 24.93 | 1.54 |
| <i>pre-warping</i> Multi-threading | 96.45 | 5.01 |
| <i>pre-warping</i> multiprocessado | 31.09 | 7.67 |

tabela 8.2 – Comparação da performance obtida para as diversas abordagens do *pre-warping*. A textura com relevo utilizada é a mesma da tabela 8.1, com um Pentium IV 2.6 GHz com *hyper-threading*.

Outra abordagem, que pode ser mais eficiente, porém não implementada, consiste em criar n threads, deixando cada um responsável pela linha $i \bmod \text{Altura_Imagem}$, sendo i o número do processo e *Altura_Imagem* a resolução vertical da textura com relevo. Utilizando o método de amostragem intercalada (seção 8.2.4), poderia-se escrever o resultado diretamente na textura final, não sendo necessário realizar a etapa de junção.

8.8 *Pre-warping* com atualização dinâmica dos impostores com relevo

Nesta versão, implementou-se primeiramente a estimativa de Schaufler, de forma a minimizar o número de *warpings* realizados sobre o impostor. Quando o *warping* não for necessário, o impostor é tratado como um simples *sprite*. Isto é especialmente conveniente para o caso de se implementar um sistema de previsão para gerar texturas com relevo, em máquinas que apenas possuem 2 processadores (e.g., processadores com *hyper-threading*), pois neste caso pode-se liberar o *thread* de *warping* para esta função. Apenas com esta otimização, observou-se a seguinte melhoria, para a câmera parada:


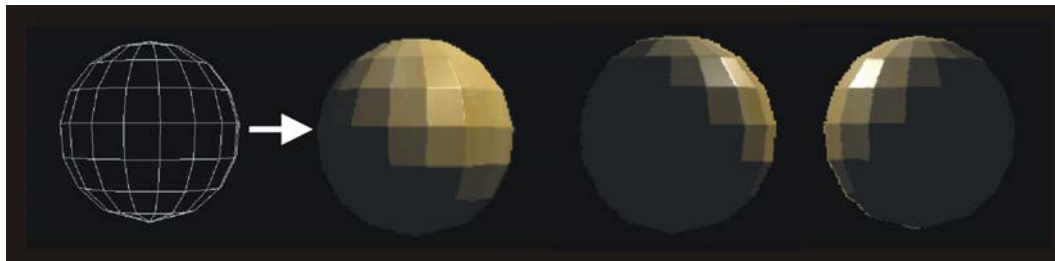
| Objeto | FPS (sem Schaufler) | FPS (com Schaufler) |
|---|---------------------|---------------------|
|  | 35 | 120 |

tabela 8.3 – Comparação de performance com implementação do teste de Schaufler para otimizar número de *warpings*. Os testes foram feitos sem ativar o *hyper-threading*. Esta otimização está apresentada com detalhes na seção 5.3.

Sempre que ocorrer um movimento do observador e o teste de Schaufler falhar, então o sistema permite que se inicie um *thread* para realizar um *warping* sobre a textura com relevo. Quando este termina, aplica-se o teste da métrica apresentado na seção 5.4. Caso se comprove que o erro seja maior do que o valor tolerado, inicia-se o cálculo de uma nova textura com relevo, que é usada tão logo fique pronta.

A figura 8.11 mostra dois exemplos de impostores com relevo: Em (a) foram necessários 14 atualizações para se dar uma volta completa sobre a esfera, que é um objeto com topologia simples, já em (b) foram necessárias 26 atualizações para o mesmo movimento sobre um objeto com geometria complexa.



(a)



(b)

figura 8.11 – Dois exemplos de Impostores com relevo: (a) representa uma geometria simples, onde são necessárias 14 atualizações para se dar uma volta por completo, já no caso de (b) se representa uma geometria complexa e são necessárias 26 atualizações para que o erro do *warping* passe despercebido ao longo de uma volta completa.

No capítulo 5.1 discutiu-se a necessidade de gerar uma nova textura com relevo para o objeto, quando estes critérios de erro forem atingidos. Nesta implementação criou-se um sistema paralelo que gera uma nova textura com relevo quando o observador chega a uma região crítica. Esta região corresponde a um local próximo ao de um ponto em que o erro superará o valor tolerado pela equação (5-7). Caso existam apenas dois processadores, o *thread* para a geração da nova textura com relevo deve ter prioridade menor do que o processo de *pre-warping*.

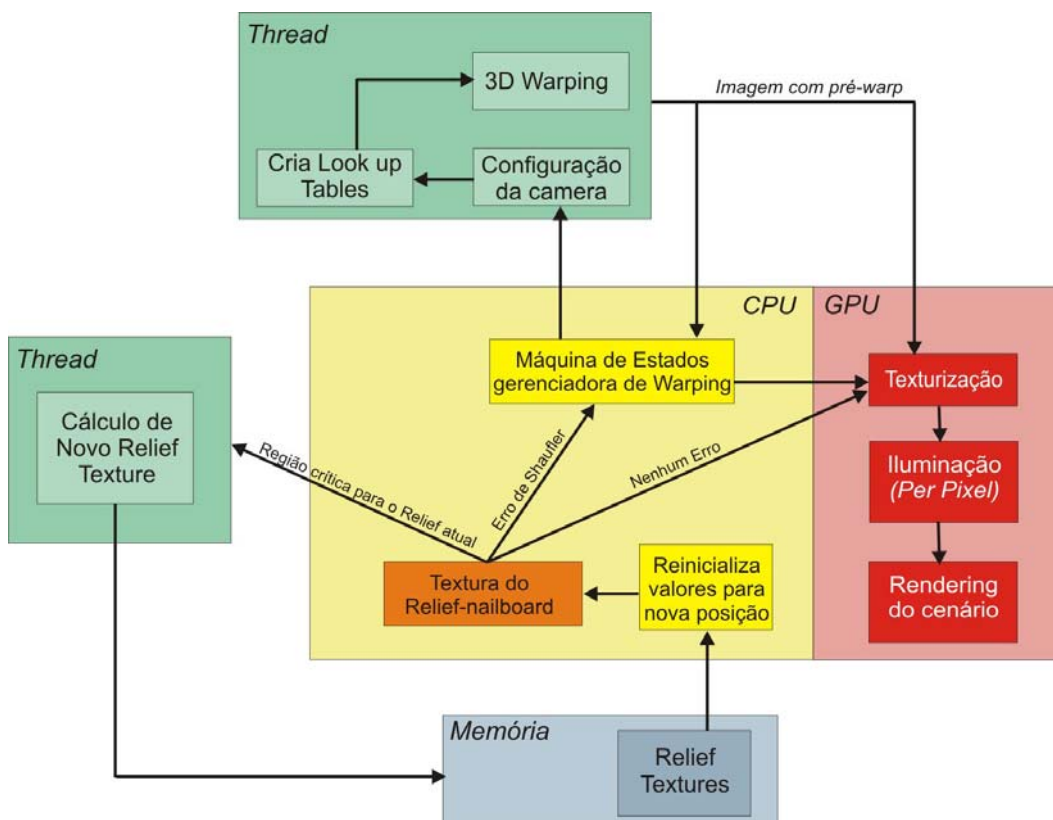


figura 8.12 – Arquitetura do sistema com otimização e métricas de erro.

A geração de uma nova textura corresponde a uma visualização do objeto pela CPU, podendo-se utilizar qualquer algoritmo que forneça a profundidade de um ponto. Denominam-se os programas que realizam este cálculo de *software shaders*. Como foi discutido, estes possuem a capacidade de calcular efeitos que podem ser impossíveis de serem obtidos pela GPU. Neste trabalho implementou-se um *software shader* para *ray-tracing*, omitindo a computação da iluminação, já que este fica a cargo do *pixel shader*, utilizando o mapa de normais do objeto em questão. Este é um algoritmo que não é conveniente de ser implementado na placa

gráfica, por envolver recursão (até a data do presente trabalho as linguagens de programação para placa gráfica impossibilitam que haja recursão). A figura 8.13 mostra um mesmo objeto sendo renderizado pelo *software shader* e pela GPU.



figura 8.13 – O personagem da esquerda foi renderizado pelo *software shader* de *Ray-tracing* e o personagem da direita foi renderizado diretamente pela GPU.

O tempo consumido para se realizar o warping da uma imagem, que é de 256 x 256 pixels, num Pentium IV 2.6GHz foi de 11 ms, resultando numa taxa de 91 warpings por segundo. Já o tempo para gerar um novo impostor com relevo pelo *software shader* foi de 228 ms, para um nível de Ray-tracing, num objeto composto por 1500 polígonos. Para manter um erro de warping acumulado quase imperceptível, o valor colocado para a heurística gerou 17 imagens ao dar uma volta completa sobre o objeto da figura 8.13. Para esta cena, a taxa de frames por segundo foi de 131 no caso de ser totalmente renderizada em GPU. Já para o caso de se usar *software shader*, a taxa foi de 124. Apesar de serem valores muito próximos, esta pequena perda se deve especialmente ao tempo de transferência que ocorre da imagem na memória do sistema para a memória de vídeo.

A figura 8.14 mostra o tempo de consumo de CPU para ambos os casos.

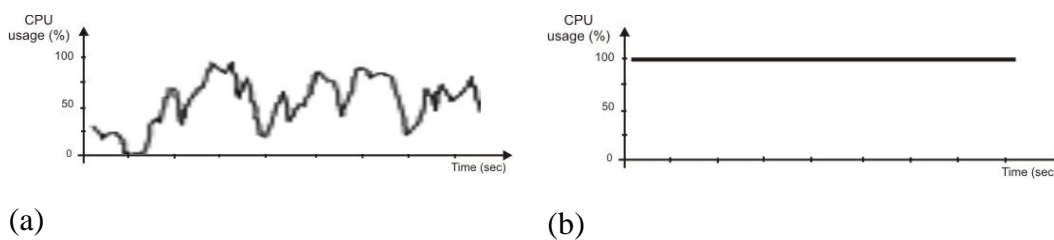


figura 8.14 – Tempo de consumo de CPU sem o *software shader* (a) e com o *software shader* (b)

Pelo exemplo apresentado, pode-se comprovar que houve um pequeno comprometimento da taxa de frames por segundos ao inserir um *software shader* responsável por gerar impostores com o algoritmo de ray-tracing. Entretanto o acréscimo de precisão e realismo na imagem gerada é consideravelmente maior. Manter a taxa de frames por segundos praticamente inalterada, porém acrescentando recursos de visualização mais realistas é justamente uma das principais propostas dos impostores com relevo. A figura 8.14 mostra que o processamento extra para obter tal resultado foi retirado do tempo que antes estava sendo desperdiçado pela CPU.

As texturas com relevo que foram usadas e deixaram de valer, podem ser armazenadas num *cache*, juntamente com as posições no espaço onde são válidas. Estas posições podem ser geradas através de volumes, estimados a partir da métrica de erro apresentada. Para objetos com superfícies contínuas, e portanto com valores pequenos no gradiente da profundidade, estes volumes tendem a ser maiores. Objetos com muitas discontinuidades possuem um mosaico maior de volumes ao seu redor (figura 4.3 e 8.11). Desta forma, antes de efetivamente ser gerado uma nova textura com relevo, verifica-se se há um volume na nova posição do observador e, neste caso, utiliza-se uma textura previamente calculada ao invés de gerar uma nova.

Quando o espaço de memória disponível para as texturas com relevo estiver saturado e for necessário descartar alguma textura para dar espaço a uma nova, é conveniente analisar o volume que se encontra mais distante da posição corrente do observador ou analisar a direção do movimento e estimar o local menos provável de se estar nos próximos *frames*. Esta idéia, bem como outras possíveis melhorias, estão discutidas no próximo capítulo: Conclusão.